

НЕЛИНЕЙНЫЕ МАГНИТООПТИЧЕСКИЕ ЭФФЕКТЫ КЕРРА

А. К. Звездин, Н. Ф. Кубраков*

*Институт общей физики Российской академии наук
117942, Москва, Россия*

Поступила в редакцию 8 апреля 1998 г.

Рассмотрена задача о состоянии поляризации волны на второй оптической гармонике при отражении от полубесконечной оптически изотропной магнитной среды для трех характерных направлений однородной намагниченности, соответствующих линейным магнитооптическим эффектам Керра. В первом приближении по намагниченности получены выражения для комплексных амплитуд поля волны, через которые определяются нелинейные эффекты Керра: полярный, меридиональный и экваториальный. Приведены полученные в результате численного эксперимента зависимости этих эффектов от угла падения индуцирующей волны. Найдены аналитические формулы для них при малых углах падения. Проведен сравнительный анализ линейных и нелинейных эффектов Керра.

1. ВВЕДЕНИЕ

Магнитные низкоразмерные системы (поверхности, тонкие пленки, многослойные структуры, квантовые точки и проволоки) привлекают к себе большое внимание. В последние годы были обнаружены многие неожиданные и нетривиальные эффекты, связанные со свойствами магнитных поверхностей и интерфейсов: гигантское магнитосопротивление, значительная поверхностная анизотропия, отличие магнитных моментов на поверхности от их объемных значений, осциллирующее обменное взаимодействие между соседними магнитными слоями и большой биквадратный обмен в многослойных структурах. Кроме несомненной фундаментальной значимости эти системы представляют большой прикладной интерес для магнитной памяти, сенсоров и т. д.

Недавно были предсказаны, а вскоре после этого и обнаружены новые магнитооптические эффекты, связанные с поверхностью магнитных сред, — нелинейные эффекты Керра на второй гармонике [1–6]. Хотя генерация второй гармоники запрещена в материалах с центром инверсии, а таковыми является большинство из широко распространенных материалов (Fe, Co, Ni, FeNi и т. д.), на поверхности или интерфейсе симметрия относительно пространственной инверсии нарушается. В магнетиках нарушается и симметрия относительно инверсии времени. Нарушение этих симметрий и приводит к возникновению магнитооптических явлений на второй гармонике, которые, как выяснилось, значительно превышают по величине соответствующие линейные эффекты [4, 6]. Большое значение угла поворота плоскости поляризации волны на второй гармонике (относительно поляризации индуцирующей волны) обеспечивает высокий контраст между областями с противоположными направлениями намагниченности. Например, для многослойной структуры Co/Cu (100) он может превосходить

*E-mail: zvezdin@magnof.phys.msu.su

50% [5]. В многослойной структуре Fe/Cr и в монокристаллических вискерах железа отношение нелинейного керровского вращения к линейному составляет величины порядка 10^3 [6]. Сравнение линейного и нелинейного экваториальных эффектов Керра дано в [7]. Нелинейные эффекты Керра с успехом применялись для зондирования внутренних поверхностей раздела (buried interfaces) в многослойных пленках [5, 8–11], спин-поляризованных квантовых ям [12–14]. Они интересны также для изучения спиновой динамики на магнитных поверхностях и в ультратонких слоях в реальном масштабе времени (в фемтосекундном диапазоне)¹⁾.

Таким образом, нелинейные магнитооптические эффекты являются новым перспективным инструментом для исследования с высокими пространственным и временным разрешениями магнитных поверхностей и интерфейсов в магнитных пленках и многослойных структурах, в особенности поверхностной магнитной анизотропии и межслойного обмена, магнитных доменов, квантовых ям, поверхностных и межслойных неколлинеарных (canted) структур, взаимосвязи геометрической шероховатости с магнитными, туннельными и транспортными свойствами наноструктур.

Однако для надежного сравнения нелинейных и линейных магнитооптических эффектов и использования их для исследования магнитных поверхностей и других низкоразмерных магнитных систем нужно разработать аппарат для описания нелинейных магнитооптических эффектов в рамках того же подхода, который хорошо известен и широко используется в линейной магнитооптике. В рамках этого подхода магнитооптические свойства материала описываются двумя комплексными параметрами: показателем преломления n и магнитооптическим параметром $Q = \varepsilon_{12}/n^2$, где ε_{12} — недиагональный элемент тензора диэлектрической проницаемости среды (см., например, [24]).

В настоящей работе проводится вычисление комплексной амплитуды второй гармоники отраженной волны от полупространства, заполненного ферромагнитным материалом, при произвольных углах падения индуцирующей волны для трех геометрических конфигураций, которые обычно устанавливаются в магнитооптических экспериментах, а именно, в конфигурациях полярного, меридионального и экваториального эффектов Керра. Вычислены состояния поляризации отраженной волны на второй гармонике. Приведены аналитические формулы для нелинейных магнитооптических эффектов Керра при малых углах падения индуцирующей волны²⁾ и результаты численных экспериментов (при произвольных углах), характеризующие эти эффекты и величины их отношений к соответствующим линейным эффектам.

Заметим, что нелинейные магнитооптические эффекты описываются T -нечетным аксиальным тензором четвертого порядка, что определяет, с одной стороны, значительное их разнообразие, а с другой стороны, из-за большого числа компонент тензора создает известные трудности и неопределенности в анализе эксперимента. В настоящей

¹⁾ Большой интерес привлекают также объемные нелинейные магнитооптические эффекты, особенно в так называемых магнитоэлектрических материалах, в которых вторая гармоника возникает из-за нечетности магнитной структуры относительно пространственной инверсии [15, 16]. Резкое усиление эффекта генерации второй гармоники за счет возникновения магнитного порядка наблюдалось в BiFeO_3 ниже точки перехода в антиферромагнитное состояние [17]. Нелинейные магнитооптические эффекты в магнитоэлектрике Cr_2O_3 подробно изучены в [18]. Они ярко выражены также в пленках магнитных гранатов [19–22] и в сплаве Гейслера [23].

²⁾ Нелинейный экваториальный эффект Керра для малых углов падения рассмотрен также в [24, 25].

работе используется теория магнитной симметрии и адекватная иерархия малых параметров, позволяющие значительно уменьшить число параметров, необходимых для полного описания нелинейных магнитооптических эффектов.

2. НЕЛИНЕЙНАЯ ПОЛЯРИЗАЦИЯ И НАМАГНИЧЕННОСТЬ СРЕДЫ

Некоторые теоретические аспекты, связанные со второй гармоникой в магнитных средах, рассмотрены в [15, 26–29]. Согласно [15, 26–29], нелинейные магнитооптические эффекты могут быть описаны в рамках электродинамики с помощью вектора нелинейной электрической поляризации \mathbf{P} , включающего в себя составляющие, пропорциональные вектору локальной намагниченности (или других базисных векторов в случае более сложных магнитных структур). Если поляризация \mathbf{P} локализована на поверхностях среды, то нелинейные магнитооптические эффекты обусловлены исключительно существованием этих поверхностей и определяются распределением намагниченности на этих поверхностях.

Поверхностная нелинейная оптическая поляризация второго порядка может быть записана в виде [1, 30]

$$P_i = \chi_{ijk}^{(2)}(\mathbf{M}) E_j E_k, \quad (2.1)$$

где тензор поверхностной нелинейной восприимчивости $\chi^{(2)}$ зависит от намагниченности \mathbf{M} , E_j — составляющая электрического поля световой волны. Свойства полярного тензора третьего ранга $\chi^{(2)}$ и его зависимость от намагниченности определяются симметрией относительно обращения времени и симметрией поверхности. Свойство обращения времени (без учета диссипации) требует, чтобы величина $\text{Re } \chi^{(2)}$ была четной функцией \mathbf{M} , а $\text{Im } \chi^{(2)}$ — нечетной. Из симметричных соображений следует, что поляризация \mathbf{P} может быть представлена в виде

$$\mathbf{P} = \mathbf{P}_0 + \mathbf{P}_m, \quad (2.2)$$

где не зависящий от намагниченности вклад есть

$$\mathbf{P}_0 = \chi_1 \mathbf{E}(\mathbf{E}\mathbf{N}) + \chi_2 E^2 \mathbf{N}, \quad (2.2a)$$

а линейно зависящий от \mathbf{M} —

$$\mathbf{P}_m = \chi_3 \mathbf{E}(\mathbf{E}[\mathbf{m}\mathbf{N}]) + \chi_4 E^2 [\mathbf{m}\mathbf{N}] + \chi_5 [\mathbf{E}\mathbf{m}](\mathbf{E}\mathbf{N}) + \chi_6 [\mathbf{E}\mathbf{N}](\mathbf{E}\mathbf{m}). \quad (2.2b)$$

Здесь χ_1, χ_2 — нелинейные оптические и χ_3, \dots, χ_6 — нелинейные магнитооптические параметры, $\mathbf{m} = \mathbf{M}/M$ — вектор, характеризующий направление намагниченности, \mathbf{N} — нормаль к поверхности. Поскольку \mathbf{P} — полярный вектор, то только две независимые комбинации второго порядка по \mathbf{E} полярных векторов \mathbf{N} и \mathbf{E} образуют полярный вектор \mathbf{P}_0 и только четыре независимые комбинации, образованные из \mathbf{E} , \mathbf{N} и аксиального вектора \mathbf{m} , дают \mathbf{P}_m .

Соотношение (2.2) следует рассматривать как разложение функции $\mathbf{P}(\mathbf{E}, \mathbf{N}, \mathbf{M})$ по \mathbf{E} , \mathbf{N} и \mathbf{M} . При этом мы ограничиваемся слагаемыми, квадратичными по \mathbf{E} и линейными по \mathbf{N} и \mathbf{M} . Параметрами малости являются, очевидно, отношение поля световой

волны E к величине внутриатомного поля E^* , отношение $\zeta = E_{surf}/E^*$ приповерхностного электрического поля E_{surf} (нарушающего четность на поверхности) к E^* (для N), и величина магнитооптической гиротропии (для M), определяемая магнитооптическим параметром Q , который обычно удовлетворяет условию $Q \ll 1$.

Разложение по N здесь фактически означает разложение по NE_{surf} , что можно пояснить следующим образом. Предположим, что существует приповерхностный слой, в котором свойства среды изменяются таким образом, что это изменение можно описать при помощи полярного вектора A , параллельного вектору N . Влияние вектора A на оптические свойства среды будем характеризовать величиной E_{surf} , хотя в общем случае, конечно, не следует отождествлять эти величины. Тогда нелинейные оптические свойства можно описать с помощью нелинейной восприимчивости $\chi^{(3)}$ так, что $P = \chi^{(3)}E_{surf}EE$ или $P = \tilde{\chi}^{(3)}AE$. Вообще говоря, свойства тензоров $\chi^{(3)}$ и $\tilde{\chi}^{(3)}$ могут несколько различаться, но это различие не влияет на дальнейшие рассуждения. Предполагая, что толщина приповерхностного слоя много меньше длины волны света, при помощи δ -функции можно перейти к локальному описанию поверхностной поляризации. Надлежащим образом усредненное произведение $\chi^{(3)}E_{surf}$ при этом дает поверхностную нелинейную восприимчивость $\chi^{(2)}$. Учет слагаемых более высокого порядка по N означает учет вкладов в вектор поляризации типа $P^5 = \chi^{(5)}E_{surf}E_{surf}E_{surf}EE$, которые, очевидно, по крайней мере в ζ^2 раз меньше уже учтенных выше. Последнее следует из известного соотношения $P^{n+1}/P^n \sim 1/E^*$ [30]. Возможно существуют случаи, когда $E_{surf} \sim E^*$; при этом разложение по NE_{surf} неприменимо и рассматриваемая теория не является вполне общей.

Использование разложений (2.2а), (2.2б) уменьшает число параметров, необходимых для описания нелинейных магнитооптических явлений (по сравнению с общей формулой (2.1)). Покажем это, сравнив (2.1) и (2.2), (2.2а). Формула (2.2а), естественно, может быть представлена в матричном виде, так же как (2.1), где полярный тензор третьего ранга в обозначениях Фохта имеет вид

$$\begin{bmatrix} 0 & 0 & 0 & 0 & e_{15} & 0 \\ 0 & 0 & 0 & e_{15} & 0 & 0 \\ e_{31} & e_{31} & e_{33} & 0 & 0 & 0 \end{bmatrix}. \tag{2.3}$$

Напомним, что он является симметричным относительно перестановок индексов j и k . Такой вид тензора $\chi_{ijk}^{(2)}$ соответствует предельной группе симметрии (группе Кюри) ∞m . Этой симметрией обладает, например, однородное электрическое поле. Из (2.2а) следует, что $e_{33} = e_{31} + 2e_{15}$, т. е. тензор $\chi_{ijk}^{(2)}$ ($M = 0$) в нашем случае определяется двумя независимыми параметрами, а не тремя, как это требуется симметрией ∞m . Однако противоречия между формулами (2.2а) и (2.3) нет, так как (2.2а) соответствует линейному по ζ приближению. Учитывая следующий по ζ член разложения в (2.2а), например, в форме $N(NE)^2$, получаем $e_{33} = e_{31} + 2e_{15} + O(\zeta^2)$.

Волна на второй гармонике при отражении от среды с центром инверсии, вообще говоря, включает в себя влияние не только поверхностных, но и объемных составляющих поляризации P . Однако последние проявляются значительно слабее, особенно в случае металлов [31].

3. СОСТОЯНИЕ ПОЛЯРИЗАЦИИ ОТРАЖЕННЫХ ВОЛН

Чтобы исследовать нелинейные магнитооптические эффекты Керра и сравнить их с соответствующими линейными, необходимо определить состояние поляризации и интенсивность отраженной волны на частотах ω и 2ω . Наиболее просто это сделать в том случае, если отражение происходит от полубесконечной оптически изотропной магнитной среды, направление однородной намагниченности которой характеризуется вектором \mathbf{m} (рис. 1). Основная часть задачи — найти составляющие $E_s^{(r)}$ и $E_p^{(r)}$ электрического поля волны на частоте ω и составляющие $\tilde{E}_s^{(r)}$ и $\tilde{E}_p^{(r)}$ волны на частоте 2ω . Множитель поляризации можно ввести как $\chi = -E_p^{(r)}/E_s^{(r)}$ или $\chi = E_s^{(r)}/E_p^{(r)}$, в зависимости от того, какое из двух направлений, соответственно вдоль s -или p -поляризации, выбирается для отсчета угла поворота плоскости поляризации. Аналогично одному из определений χ должен быть введен множитель поляризации $\tilde{\chi}$ для второй гармоники (тильдой будем обозначать величины, относящиеся ко второй гармонике). Керровское вращение (угол поворота большой оси эллипса поляризации) находится из соотношения [32]

$$\operatorname{tg} 2\theta = \frac{2 \operatorname{Re} \chi}{1 - |\chi|^2}. \quad (3.1)$$

Эллиптичность определяется следующим образом:

$$\eta = \frac{1}{2} \arcsin \frac{2 \operatorname{Im} \chi}{1 + |\chi|^2}. \quad (3.2)$$

Знаки величин θ и η соответствуют направлению наблюдения против волнового вектора $\mathbf{k}^{(r)}$. Если $0 < \eta < \pi/4$, то волна имеет левую эллиптическую поляризацию, а если $-\pi/4 < \eta < 0$, то правую. В случае линейной поляризации ($\eta = 0$) должно выполняться условие $\operatorname{Im} \chi = 0$. Круговая поляризация соответствует $\eta = \pi/4$ (левая) и $\eta = -\pi/4$ (правая). Эти определения распространяются, очевидно, и на нелинейные полярный и меридиональный эффекты Керра, если под входящими в (3.1), (3.2) величинами понимаются те, которые относятся ко второй гармонике. Отметим, что знаки величин θ и η зависят и от представления плоской волны.

Определение экваториального эффекта Керра как относительного изменения $\delta = (I - I_0)/I_0$ интенсивности отраженной волны при переходе среды из состояния с однородной намагниченностью (I) в состояние без намагниченности (I_0) удобно лишь для волны с частотой ω . Аналогичное определение для нелинейного случая, которое используется в [24], дает неограниченное возрастание δ при уменьшении угла падения.

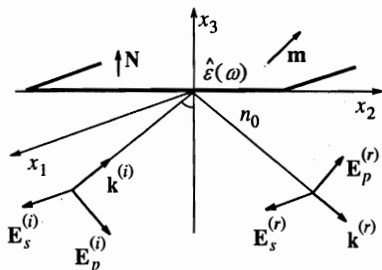


Рис. 1. К определению нормальных мод с частотой ω для полубесконечной магнитной среды

По этой причине удобнее использовать определение

$$\bar{\delta} = (I - I_0)/(I + I_0). \tag{3.3}$$

По аналогии с (3.3) будет определяться и линейный экваториальный эффект.

Для рассмотрения нелинейных магнитооптических эффектов Керра необходимо использовать результаты решения линейной задачи: матрицу отражения и представления нормальных мод в магнитной среде при ориентациях \mathbf{m} , которые входят в определение линейных эффектов Керра. В этом случае тензор диэлектрической проницаемости магнитной среды [25]

$$\hat{\epsilon}(\omega) = n^2 \begin{bmatrix} 1 & -im_3Q & im_2Q \\ im_3Q & 1 & -im_1Q \\ -im_2Q & im_1Q & 1 \end{bmatrix}, \tag{3.4}$$

где n — комплексный коэффициент преломления ($\text{Im } n > 0$), Q — магнитооптический параметр, линейно зависящий от намагниченности. Магнитная проницаемость предполагается равной единице.

Падающая волна $\mathbf{E}^{(i)} = \mathbf{E}_0^{(i)} \exp [i(\mathbf{k}^{(i)}\mathbf{x} - \omega t)]$ и отраженная волна $\mathbf{E}^{(r)} = \mathbf{E}_0^{(r)} \times \exp [i(\mathbf{k}^{(r)}\mathbf{x} - \omega t)]$, распространяющиеся в прозрачной среде ($x_3 < 0$) с коэффициентом преломления $n_0(\omega)$, могут быть представлены в виде волн с s - и p -поляризациями, которые связаны между собой через матрицу отражения

$$\begin{bmatrix} E_s^{(r)} \\ E_p^{(r)} \end{bmatrix} = \begin{bmatrix} r_{ss} & r_{sp} \\ r_{ps} & r_{pp} \end{bmatrix} \begin{bmatrix} E_s^{(i)} \\ E_p^{(i)} \end{bmatrix}, \tag{3.5}$$

элементы которой зависят от оптических параметров двух сред. В полубесконечной области магнитной среды два решения уравнения Френеля соответствуют двум нормальным модам. Для каждой из них необходимо знать все три составляющие электрического поля.

4. МАТРИЦА ОТРАЖЕНИЯ И КОМПЛЕКСНЫЕ АМПЛИТУДЫ ПОЛЯ ВОЛНЫ НА ЧАСТОТЕ ω

Далее для трех направлений \mathbf{m} (рис. 1), соответствующих линейным эффектам Керра, будут приведены элементы матрицы отражения и формулы для комплексных амплитуд поля, которые входят в определение (2.2) нелинейной поверхностной поляризации [25].

4.1. Полярная геометрия, $\mathbf{m} = (0, 0, 1)$

Намагниченность ортогональна поверхности среды и лежит в плоскости падения. Элементы матрицы отражения:

$$r_{ss} = \frac{X^-}{X^+}, \quad r_{pp} = \frac{Y^-}{Y^+}, \tag{4.1}$$

$$r_{sp} = -r_{ps} = \frac{in_0n^2Q}{X^+Y^+} \cos \varphi, \tag{4.2}$$

где $X^\pm = n_0 \cos \varphi \pm \sqrt{n^2 - \alpha^2}$, $Y^\pm = n_0 \sqrt{n^2 - \alpha^2} \pm n^2 \cos \varphi$, $\alpha = n_0 \sin \varphi$.

Составляющие электрического поля в магнитной среде:

$$\begin{aligned} E_1 &= \frac{2n_0 \cos \varphi}{X^+} \left[E_s^{(i)} + \frac{in^2 Q}{2Y^+} E_p^{(i)} \right], \\ E_2 &= \frac{2n_0 \cos \varphi}{Y^+} \left[\sqrt{n^2 - \alpha^2} E_p^{(i)} - \frac{in^2 Q \cos \varphi}{2X^+} E_s^{(i)} \right], \\ E_3 &= -\frac{2n_0 \alpha \cos \varphi}{Y^+} \left[E_p^{(i)} + \frac{in_0 Q}{2X^+} E_s^{(i)} \right]. \end{aligned} \quad (4.3)$$

Если падающая волна имеет линейную поляризацию, то отраженная будет иметь эллиптическую, причем большая ось эллипса поляризации будет повернута на некоторый угол, который определяется из (3.1).

4.2. Меридиональная геометрия, $\mathbf{m} = (0, 1, 0)$

Намагниченность параллельна поверхности среды и лежит в плоскости падения. Этот эффект, как и полярный, состоит в появлении эллиптичности и поворота плоскости поляризации отраженной волны, если падающая волна линейно поляризована. Элементы r_{ss} и r_{pp} определяются согласно (4.1),

$$r_{sp} = r_{ps} = \frac{i\alpha n_0 n^2 Q \cos \varphi}{X^+ Y^+ \sqrt{n^2 - \alpha^2}}. \quad (4.4)$$

Составляющие электрического поля в магнитной среде:

$$\begin{aligned} E_1 &= \frac{2n_0 \cos \varphi}{X^+} \left[E_s^{(i)} + \frac{i\alpha n^2 Q}{2Y^+ \sqrt{n^2 - \alpha^2}} E_p^{(i)} \right], \\ E_2 &= \frac{2n_0 \cos \varphi}{Y^+} \left[\sqrt{n^2 - \alpha^2} E_p^{(i)} + \frac{i\alpha n^2 Q \cos \varphi}{2X^+ \sqrt{n^2 - \alpha^2}} E_s^{(i)} \right], \\ E_3 &= -\frac{2n_0 \cos \varphi}{Y^+} \left[\alpha E_p^{(i)} - \frac{iQ}{X^+} \left(Y^+ + \frac{\alpha^2 n_0}{2\sqrt{n^2 - \alpha^2}} \right) E_s^{(i)} \right]. \end{aligned} \quad (4.5)$$

4.3. Экваториальная геометрия, $\mathbf{m} = (1, 0, 0)$

Намагниченность параллельна поверхности среды и ортогональна плоскости падения. Равенство $r_{sp} = r_{ps} = 0$ означает, что отраженная волна имеет такую же поляризацию, как и падающая. Элемент r_{ss} определяется из (4.1), и второй диагональный элемент

$$r_{pp} = \frac{Y^-}{Y^+} \left[1 - \frac{in_0^2 n^2 Q}{Y^- Y^+} \sin 2\varphi \right]. \quad (4.6)$$

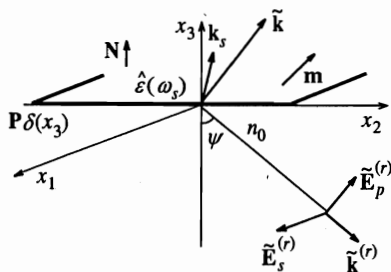


Рис. 2. Волны с частотой ω_s , обусловленные нелинейной поверхностной поляризацией P

Комплексные амплитуды поля в магнитной среде:

$$\begin{aligned}
 E_1 &= \frac{2n_0 \cos \varphi}{X^+} E_s^{(i)}, \\
 E_2 &= \frac{2n_0 \cos \varphi}{Y^+} \left[\sqrt{n^2 - \alpha^2} - \frac{i\alpha n^2 Q}{Y^+} \cos \varphi \right] E_p^{(i)}, \\
 E_3 &= -\frac{2n_0 \cos \varphi}{Y^+} \left[\alpha + \frac{in^2 Q}{Y^+} \left(n_0 + \sqrt{n^2 - \alpha^2} \cos \varphi \right) \right] E_p^{(i)}.
 \end{aligned} \tag{4.7}$$

Очевидно, что экваториальный эффект имеет место только при наклонном падении.

5. НОРМАЛЬНЫЕ МОДЫ С ЧАСТОТОЙ 2ω

Поверхностная поляризация $P = (P_0 + P_m) \exp[i(k_0s\alpha x_2 - \omega_s t)]$, где $\omega_s = 2\omega$ и волновое число $k_0s = \omega_s/c$, является источником плоских волн с частотой ω_s , затухающих в полубесконечной магнитной среде (рис. 2). Для нахождения состояния поляризации этой волны необходимо решить уравнение Максвелла в двух областях.

В области магнитной среды ($x_3 > 0$)

$$\text{rot } \vec{H} = -i\omega_s \varepsilon_0 \hat{\varepsilon}(\omega_s) \vec{E}, \quad \text{rot } \vec{E} = i\omega_s \mu_0 \vec{H}, \tag{5.1}$$

где в тензоре диэлектрической проницаемости

$$\hat{\varepsilon}(\omega_s) = \tilde{n}^2 \begin{bmatrix} 1 & -im_3 \tilde{Q} & im_2 \tilde{Q} \\ -im_3 \tilde{Q} & 1 & -im_1 \tilde{Q} \\ -im_2 \tilde{Q} & im_1 \tilde{Q} & 1 \end{bmatrix}$$

коэффициент преломления $\tilde{n} = n(\omega_s)$ и магнитооптический параметр $\tilde{Q} = Q(\omega_s)$.

В области прозрачной среды ($x_3 < 0$) с коэффициентом преломления $\tilde{n}_0 = n_0(\omega_s)$

$$\text{rot } \vec{H} = -i\omega_s \varepsilon_0 \tilde{n}_0^2 \vec{E}, \quad \text{rot } \vec{E} = i\omega_s \mu_0 \vec{H}. \tag{5.2}$$

Граничные условия на поверхности ($x_3 = 0$) могут быть получены аналогично тому, как это сделано в [33]. Результатом являются следующие соотношения:

$$\begin{aligned}
 \vec{E}_1^+ - \vec{E}_1^- &= 0, & \vec{E}_2^+ - \vec{E}_2^- &= -i\alpha \tilde{n}^{-2} k_0s \varepsilon_0^{-1} P_3, \\
 \vec{H}_1^+ - \vec{H}_1^- &= \omega_s (m_1 \tilde{Q} P_3 - iP_2), & \vec{H}_2^+ - \vec{H}_2^- &= \omega_s (m_2 \tilde{Q} P_3 + iP_1).
 \end{aligned} \tag{5.3}$$

Уравнения (5.1), решение которых имеет вид плоской волны $\vec{E} = \vec{E}_0 \exp[i(\mathbf{k}\mathbf{x} - \omega_s t)]$ с волновым вектором $\vec{k} = k_{0s}(0, \alpha, \gamma)$, сводятся к волновому уравнению в матричной форме:

$$\begin{bmatrix} \alpha^2 + \gamma^2 - \bar{n}^2 & i\bar{n}^2 m_3 \bar{Q} & -i\bar{n}^2 m_2 \bar{Q} \\ -i\bar{n}^2 m_3 \bar{Q} & \gamma^2 - \bar{n}^2 & -\alpha\gamma + i\bar{n}^2 m_1 \bar{Q} \\ i\bar{n}^2 m_2 \bar{Q} & -\alpha\gamma - i\bar{n}^2 m_1 \bar{Q} & \alpha^2 - \bar{n}^2 \end{bmatrix} \begin{bmatrix} \bar{E}_1 \\ \bar{E}_2 \\ \bar{E}_3 \end{bmatrix} = 0, \quad (5.4)$$

которое разрешимо только для значений параметра γ , являющихся решениями уравнения Френеля:

$$\begin{aligned} \gamma^4 - \left[2(\bar{n}^2 - \alpha^2) - \bar{n}^2 \bar{Q}^2 (1 - m_3^2) \right] \gamma^2 - 2\bar{n}^2 \bar{Q}^2 m_2 m_3 \alpha \gamma + \\ + (\bar{n}^2 - \alpha^2)^2 - \bar{n}^2 \bar{Q}^2 [\bar{n}^2 - (1 - m_2^2) \alpha^2] = 0. \end{aligned} \quad (5.5)$$

Поскольку среда предполагается полубесконечной, то из четырех корней уравнения (5.5) физический смысл имеют только те, которые соответствуют двум уходящим от поверхности волнам — нормальным модам. Их вид зависит от направления вектора \mathbf{m} . Далее будут приведены представления нормальных мод в первом приближении по \bar{Q} для ориентаций \mathbf{m} , соответствующих определению трех магнитооптических эффектов Керра.

Полярный эффект, $\mathbf{m} = (0, 0, 1)$. Из (5.5) следует, что

$$\gamma_{1,2} = \sqrt{\bar{n}^2 - \alpha^2} \mp \frac{1}{2} \bar{n} \bar{Q},$$

а уравнение (5.4) дает две моды:

$$\begin{aligned} \vec{E}^{(1,2)} &= \vec{E}_{02}^{(1,2)} \exp(i\vec{k}^{(1,2)}\mathbf{x}) \left(\pm \xi, 1, -\alpha (\bar{n}^2 - \alpha^2)^{-1} \gamma_{1,2} \right), \\ \vec{H}^{(1,2)} &= \frac{\xi k_{0s} \vec{E}_{02}^{(1,2)}}{\omega_s \mu_0} \exp(i\vec{k}^{(1,2)}\mathbf{x}) \left(\xi \gamma_{1,2}, \pm \gamma_{1,2}, \mp \alpha \right), \end{aligned} \quad (5.6)$$

где $\xi = i\bar{n}\sqrt{\bar{n}^2 - \alpha^2}$, $\vec{k}^{(j)} = k_{0s}(0, \alpha, \gamma_j)$, верхний знак соответствует первой моде, а нижний — второй.

Меридиональный эффект, $\mathbf{m} = (0, 1, 0)$. Для нахождения нормальных мод из (5.4) необходимы точные значения

$$\gamma_{1,2} = \sqrt{\bar{n}^2 - \alpha^2 - \frac{1}{2} \bar{n}^2 \bar{Q}^2} \mp \bar{n} \bar{Q} \sqrt{\alpha^2 + \frac{1}{4} \bar{n}^2 \bar{Q}^2},$$

тогда

$$\begin{aligned} \vec{E}^{(1,2)} &= \vec{E}_{02}^{(1,2)} \exp(i\vec{k}^{(1,2)}\mathbf{x}) \left(\frac{i\bar{n}^2 \bar{Q} (\bar{n}^2 - \gamma_{1,2}^2)}{\alpha \gamma_{1,2} (\bar{n}^2 - \alpha^2 - \gamma_{1,2}^2)}, 1, \frac{\bar{n}^2 - \gamma_{1,2}^2}{\alpha \gamma_{1,2}} \right), \\ \vec{H}^{(1,2)} &= \frac{k_{0s} \vec{E}_{02}^{(1,2)}}{\omega_s \mu_0} \exp(i\vec{k}^{(1,2)}\mathbf{x}) \left(-\frac{\bar{n}^2}{\gamma_{1,2}}, \frac{i\bar{n}^2 \bar{Q} (\bar{n}^2 - \gamma_{1,2}^2)}{\alpha (\bar{n}^2 - \alpha^2 - \gamma_{1,2}^2)}, -\frac{i\bar{n}^2 \bar{Q} (\bar{n}^2 - \gamma_{1,2}^2)}{\gamma_{1,2} (\bar{n}^2 - \alpha^2 - \gamma_{1,2}^2)} \right). \end{aligned} \quad (5.7)$$

Экваториальный эффект, $\mathbf{m} = (1, 0, 0)$. Из (5.5) следует, что

$$\gamma_{1,2} \approx \gamma = \sqrt{\bar{n}^2 - \alpha^2}$$

и нормальные моды

$$\begin{aligned} \tilde{\mathbf{E}}^{(1)} &= \tilde{\mathbf{E}}_{01}^{(1)} \exp(i\tilde{\mathbf{k}}\mathbf{x}) (1, 0, 0), \\ \tilde{\mathbf{H}}^{(1)} &= \frac{k_{0s}\tilde{\mathbf{E}}_{01}^{(1)}}{\omega_s\mu_0} \exp(i\tilde{\mathbf{k}}\mathbf{x}) (0, \gamma, -\alpha), \\ \tilde{\mathbf{E}}^{(2)} &= \tilde{\mathbf{E}}_{02}^{(2)} \exp(i\tilde{\mathbf{k}}\mathbf{x}) \left(0, 1, -\frac{\alpha\gamma + i\tilde{n}^2\tilde{Q}}{\tilde{n}^2 - \alpha^2} \right), \\ \tilde{\mathbf{H}}^{(2)} &= \frac{k_{0s}\tilde{\mathbf{E}}_{02}^{(2)}}{\omega_s\mu_0} \exp(i\tilde{\mathbf{k}}\mathbf{x}) \left(\frac{\tilde{n}^2(\gamma + i\alpha\tilde{Q})}{\tilde{n}^2 - \alpha^2}, 0, 0 \right). \end{aligned} \tag{5.8}$$

Здесь первая мода имеет *s*-поляризацию, а вектор $\tilde{\mathbf{E}}^{(2)}$ лежит в плоскости падения, но не ортогонален волновому вектору.

Из (5.2) следует, что в прозрачной среде ($x_3 < 0$) распространяется только одна плоская волна $\tilde{\mathbf{E}}^{(r)} = \tilde{\mathbf{E}}_0^{(r)} \exp[i(\tilde{\mathbf{k}}\mathbf{x} - \omega_s t)]$ с волновым вектором $\tilde{\mathbf{k}}^{(r)} = k_{0s}\tilde{n}_0(0, \sin\psi, \cos\psi)$ (рис. 2). В отличие от нормальных мод в магнитной среде, эту волну можно представить в виде суперпозиции волн с *s*- и *p*-поляризациями. В частности, на поверхности

$$\begin{aligned} \tilde{\mathbf{E}}^{(r)} &= \left(\tilde{\mathbf{E}}_s^{(r)}, \tilde{\mathbf{E}}_p^{(r)} \cos\psi, \tilde{\mathbf{E}}_p^{(r)} \sin\psi \right), \\ \tilde{\mathbf{H}}^{(r)} &= \frac{k_{0s}\tilde{n}_0}{\omega_s\mu_0} \left(\tilde{\mathbf{E}}_p^{(r)}, -\tilde{\mathbf{E}}_s^{(r)} \cos\psi, -\tilde{\mathbf{E}}_s^{(r)} \sin\psi \right). \end{aligned} \tag{5.9}$$

Граничные условия (5.3) выполняются, если имеет место соотношение

$$\sin\psi = \frac{n_0}{\tilde{n}_0} \sin\varphi, \tag{5.10}$$

которое можно назвать законом отражения для волны с частотой ω_s . Если коэффициент преломления прозрачной среды не зависит от частоты, то $\psi = \varphi$.

6. НЕЛИНЕЙНЫЙ ПОЛЯРНЫЙ ЭФФЕКТ КЕРРА

В случае $\mathbf{m} = (0, 0, 1)$ выражения (5.6) для нормальных мод и граничные условия (5.3) дают следующие представления *s*- и *p*-составляющих отраженной волны на частоте ω_s через составляющие нелинейной поверхностной поляризации:

$$\begin{aligned} \tilde{\mathbf{E}}_s^{(r)} &= \frac{ik_{0s}}{\varepsilon_0\tilde{X}^+} \left[P_1 + \frac{i\tilde{Q}}{2\tilde{Y}^+} (P_2\tilde{n}^2 \cos\psi - \alpha\tilde{n}_0P_3) \right], \\ \tilde{\mathbf{E}}_p^{(r)} &= \frac{ik_{0s}}{\varepsilon_0\tilde{Y}^+} \left[\sqrt{\tilde{n}^2 - \alpha^2}P_2 + \alpha P_3 - \frac{i\tilde{n}^2\tilde{Q}}{2\tilde{X}^+} P_1 \right], \end{aligned} \tag{6.1}$$

где $\tilde{X}^+ = \tilde{n}_0 \cos\psi + \sqrt{\tilde{n}^2 - \alpha^2}$, $\tilde{Y}^+ = \tilde{n}_0\sqrt{\tilde{n}^2 - \alpha^2} + \tilde{n}^2 \cos\psi$, $\alpha = n_0 \sin\varphi$. Согласно (2.2) в конфигурации полярного эффекта Керра составляющие **P** равны

$$\begin{aligned} P_1 &= \chi_1 E_1 E_3 + (\chi_5 + \chi_6) E_2 E_3, \\ P_2 &= \chi_1 E_2 E_3 - (\chi_5 + \chi_6) E_1 E_3, \\ P_3 &= \chi_2 (E_1^2 + E_2^2) + (\chi_1 + \chi_2) E_3^2, \end{aligned}$$

где комплексные амплитуды E_1, E_2, E_3 известны из (4.3). Таким образом, s - и p -составляющие отраженной волны на частоте ω_s становятся определенными через s - и p -составляющие падающей волны $E^{(i)}$ и оптические параметры сред. В частности, если падающая волна имеет s -поляризацию (рис. 1), то

$$\begin{aligned} \tilde{E}_s^{(r)} &= \frac{\alpha k_{0s}}{2\varepsilon_0 \tilde{X}^+} \left(\frac{2n_0 \cos \varphi}{X^+} E_s^{(i)} \right)^2 \left[\chi_1 \frac{n_0 Q}{Y^+} + \chi_2 \frac{\tilde{n}_0 \tilde{Q}}{\tilde{Y}^+} \right], \\ \tilde{E}_p^{(r)} &= \frac{i\alpha k_{0s}}{\varepsilon_0 \tilde{Y}^+} \left(\frac{2n_0 \cos \varphi}{X^+} E_s^{(i)} \right)^2 \chi_2, \end{aligned} \quad (6.2)$$

а если p -поляризацию, то

$$\begin{aligned} \tilde{E}_s^{(r)} &= \frac{\alpha k_{0s}}{\varepsilon_0 \tilde{X}^+} \left(\frac{2n_0 \cos \varphi}{Y^+} E_p^{(i)} \right)^2 \left\{ \frac{1}{2} \chi_1 \left[\frac{n^2 Q}{X^+} + \frac{\tilde{Q}}{\tilde{Y}^+} \left(\sqrt{n^2 - \alpha^2} \tilde{n}^2 \cos \psi + \alpha^2 \tilde{n}_0 \right) \right] + \right. \\ &\quad \left. + \chi_2 \frac{\tilde{n}_0 n^2 \tilde{Q}}{2\tilde{Y}^+} - i(\chi_5 + \chi_6) \sqrt{n^2 - \alpha^2} \right\}, \\ \tilde{E}_p^{(r)} &= -\frac{i\alpha k_{0s}}{\varepsilon_0 \tilde{Y}^+} \left(\frac{2n_0 \cos \varphi}{Y^+} E_p^{(i)} \right)^2 \left[\chi_1 \left(\sqrt{(\tilde{n}^2 - \alpha^2)(n^2 - \alpha^2)} - \alpha^2 \right) - \chi_2 n^2 \right]. \end{aligned} \quad (6.3)$$

В обоих случаях отраженная волна с частотой ω_s является эллиптически поляризованной. Подстановка параметра $\tilde{\chi}$, найденного из (6.2) или (6.3), в формулы (3.1) и (3.2) дает необходимый результат: угол вращения плоскости поляризации и эллиптичность на второй гармонике. В первом приближении по углу падения φ соответствующие формулы для комплексного угла $\tilde{\theta} + i\tilde{\eta}$ выглядят достаточно компактно. Действительно, если падающая волна имеет s -поляризацию (рис. 2) и угол $\tilde{\theta}_s$ отсчитывается от направления p -поляризации ($\tilde{\chi} = \tilde{E}_s^{(r)}/\tilde{E}_p^{(r)}$), то

$$\tilde{\theta}_s + i\tilde{\eta}_s = \frac{1}{2i} \left[\frac{n_0 \tilde{n} Q}{n(n_0 + n)} \frac{\chi_1}{\chi_2} + \frac{\tilde{n}_0 \tilde{Q}}{\tilde{n}_0 + \tilde{n}} \right]. \quad (6.4)$$

Керровский угол $\tilde{\theta}_p + i\tilde{\eta}_p$ (p -поляризация падающей волны и $\tilde{\chi} = \tilde{E}_s^{(r)}/\tilde{E}_p^{(r)}$) в данном приближении также не зависит от φ :

$$\tilde{\theta}_p + i\tilde{\eta}_p = i\tilde{n} \left\{ \left[\frac{1}{2} \left(\frac{nQ}{n_0 + n} + \tilde{Q} \right) - i \frac{\chi_5 + \chi_6}{\chi_1} \right] \left(\tilde{n} - n \frac{\chi_2}{\chi_1} \right)^{-1} - \frac{\tilde{n}_0 \tilde{Q}}{2\tilde{n}(\tilde{n}_0 + \tilde{n})} \right\}. \quad (6.5)$$

Приведем в качестве примера характерные зависимости угла поворота плоскости поляризации и эллиптичности от угла падения φ (рис. 3а) для линейного (θ, η) и нелинейного ($\tilde{\theta}, \tilde{\eta}$) эффектов Керра при $\tilde{n}_0 = n_0 = 1$, $\tilde{n} = n = 2.36 \pm 3.48i$, $\tilde{Q} = Q = -0.034 + 0.003i$ (n и Q соответствуют железу), $\chi_2/\chi_1 = 0.1$, $\chi_j/\chi_1 = 0.01i$, $\text{Im} \chi_1 = 0$, $j = 3, \dots, 6$ (значения этих отношений близки к приведенным в [34, 35]).

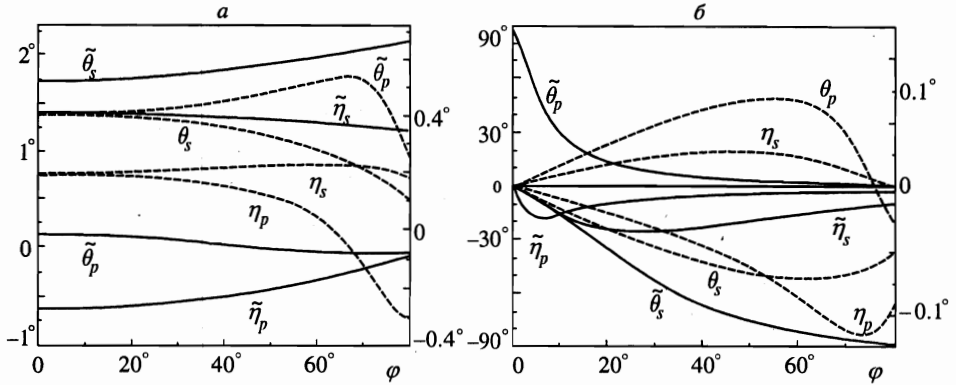


Рис. 3. Угол поворота плоскости поляризации и эллиптичность для нелинейного (сплошные линии) и линейного (штриховые линии, относящиеся к правой шкале) полярного (а) и меридионального (б) эффектов Керра при *s*- и *p*-поляризациях падающей волны

При *s*-поляризации падающей волны за направление отсчета угла $\tilde{\theta}_s$ было выбрано направление *p*-поляризации. Как видно из графиков, поляризации отраженных волн на частотах ω и ω_s в этом случае близки к ортогональным. Необходимо отметить, что при нормальном падении нелинейная поляризация *P* имеет только одну отличную от нуля составляющую P_3 , и, как следует из (6.1), (6.2) и (6.3), отраженная волна вообще отсутствует, поскольку $\alpha = 0$. Однако множитель поляризации $\tilde{\chi}$ отличен от нуля из-за линейной зависимости составляющих поля от α . Это означает, что при $\varphi \rightarrow 0$ угол поворота плоскости поляризации и эллиптичность могут иметь достаточно большие значения (что видно из рис. 3), в то время как интенсивность отраженной волны становится бесконечно малой.

7. НЕЛИНЕЙНЫЙ МЕРИДИОНАЛЬНЫЙ ЭФФЕКТ КЕРРА

Если падающая волна линейно поляризована и $\mathbf{m} = (0, 1, 0)$, то отраженные волны на частотах ω и ω_s будут эллиптически поляризованы, причем большие оси эллипсов поляризации будут повернуты на некоторые углы (керровское вращение) относительно *s*-поляризации этих волн. Чтобы найти керровский угол и эллиптичность для второй гармоники, необходимо подставить выражения (5.7) для нормальных мод в граничные условия (5.3) и учесть разложения (5.9). В результате *s*- и *p*-составляющие отраженной волны с частотой ω_s будут следующими:

$$\begin{aligned} \tilde{E}_s^{(r)} &= \frac{ik_{0s}}{\varepsilon_0 \tilde{X}^+} \left[P_1 + \frac{i\alpha \tilde{n}^2 \tilde{Q} \cos \psi}{2\tilde{Y}^+ \sqrt{\tilde{n}^2 - \alpha^2}} P_2 - iQ \left(1 + \frac{\alpha^2 \tilde{n}_0}{2\tilde{Y}^+ \sqrt{\tilde{n}^2 - \alpha^2}} \right) P_3 \right], \\ \tilde{E}_p^{(r)} &= \frac{ik_{0s}}{\varepsilon_0 \tilde{Y}^+} \left[\alpha P_3 + \sqrt{\tilde{n}^2 - \alpha^2} P_2 + \frac{i\alpha \tilde{n}^2 \tilde{Q}}{2\tilde{X}^+ \sqrt{\tilde{n}^2 - \alpha^2}} P_1 \right], \end{aligned} \tag{7.1}$$

где, согласно (2.2), составляющие нелинейной поверхностной поляризации равны

$$\begin{aligned} P_1 &= \chi_1 E_1 E_3 + (\chi_3 + \chi_4) E_1^2 + (\chi_4 + \chi_6) E_2^2 + (\chi_4 - \chi_5) E_3^2, \\ P_2 &= \chi_1 E_2 E_3 + (\chi_3 - \chi_6) E_1 E_2, \\ P_3 &= \chi_2 (E_1^2 + E_2^2) + (\chi_1 + \chi_2) E_3^2 + (\chi_3 + \chi_5) E_1 E_3, \end{aligned}$$

а комплексные амплитуды E_1 , E_2 , E_3 находятся из (4.5).

Если падающая волна имеет s -поляризацию, то

$$\begin{aligned} \tilde{E}_s^{(r)} &= -\frac{k_{0s}}{\varepsilon_0 \tilde{X}^+} \left(\frac{2n_0 \cos \varphi}{X^+} E_s^{(i)} \right)^2 \left[\chi_1 Q \left(1 + \frac{\alpha^2 n_0}{2Y^+ \sqrt{n^2 - \alpha^2}} \right) - \right. \\ &\quad \left. - \chi_2 \tilde{Q} \left(1 + \frac{\alpha^2 \tilde{n}_0}{2\tilde{Y}^+ \sqrt{\tilde{n}^2 - \alpha^2}} \right) - i(\chi_3 + \chi_4) \right], \\ \tilde{E}_p^{(r)} &= \frac{i\alpha k_{0s}}{\varepsilon_0 \tilde{Y}^+} \left(\frac{2n_0 \cos \varphi}{X^+} E_s^{(i)} \right)^2 \chi_2, \end{aligned} \quad (7.2)$$

а если p -поляризацию, то

$$\begin{aligned} \tilde{E}_s^{(r)} &= \frac{k_{0s}}{\varepsilon_0 \tilde{X}^+} \left(\frac{2n_0 \cos \varphi}{Y^+} E_p^{(i)} \right)^2 \left\{ \chi_1 \left[\alpha^2 \tilde{Q} \left(1 + \frac{\alpha^2 \tilde{n}_0 + \tilde{n}^2 \sqrt{n^2 - \alpha^2} \cos \psi}{2\tilde{Y}^+ \sqrt{\tilde{n}^2 - \alpha^2}} \right) + \right. \right. \\ &\quad \left. \left. + \frac{\alpha^2 n^2 Q}{2X^+ \sqrt{n^2 - \alpha^2}} \right] + \chi_2 n^2 \tilde{Q} \left(1 + \frac{\alpha^2 \tilde{n}_0}{2\tilde{Y}^+ \sqrt{\tilde{n}^2 - \alpha^2}} \right) + i\chi_4 n^2 - i\chi_5 \alpha^2 + i\chi_6 (n^2 - \alpha^2) \right\}, \\ \tilde{E}_p^{(r)} &= \frac{i\alpha k_{0s}}{\varepsilon_0 \tilde{Y}^+} \left(\frac{2n_0 \cos \varphi}{Y^+} E_p^{(i)} \right)^2 \left[\chi_1 \left(\alpha^2 - \sqrt{(\tilde{n}^2 - \alpha^2)(n^2 - \alpha^2)} \right) + \chi_2 n^2 \right]. \end{aligned} \quad (7.3)$$

Определяя множитель поляризации $\tilde{\chi}$ из (7.1) или (7.2), (7.3) и подставляя его в (3.1), (3.2), легко получить угол поворота плоскости поляризации $\tilde{\theta}$ и эллиптичность $\tilde{\eta}$ отраженной волны. При малых значениях φ и s -поляризации падающей волны

$$\tilde{\chi} = -\frac{\tilde{E}_p^{(r)}}{\tilde{E}_s^{(r)}} = \frac{i n_0 \varphi}{\tilde{n}} \frac{\chi_2}{\chi_1 Q - \chi_2 \tilde{Q} - i(\chi_3 + \chi_4)}, \quad (7.4)$$

а при p -поляризации

$$\tilde{\chi} = \frac{\tilde{E}_s^{(r)}}{\tilde{E}_p^{(r)}} = \frac{n \tilde{n}}{i \tilde{n}_0 \varphi} \frac{\chi_2 \tilde{Q} + i(\chi_4 + \chi_6)}{\chi_2 n - \chi_1 \tilde{n}}. \quad (7.5)$$

На рис. 3б показано, как $\tilde{\theta}$ и $\tilde{\eta}$ зависят от поляризации падающей волны и угла падения в случае линейного и нелинейного меридиональных эффектов Керра. Значения необходимых параметров были выбраны такими же, при которых построены графики на рис. 3а.

8. НЕЛИНЕЙНЫЙ ЭКВАТОРИАЛЬНЫЙ ЭФФЕКТ КЕРРА

Для вычисления интенсивностей, входящих в определение (3.3) этого эффекта, необходимы комплексные амплитуды $\tilde{E}_s^{(r)}$ и $\tilde{E}_p^{(r)}$, которые находятся после подстановки нормальных мод (5.8) в граничные условия (5.3) при $\mathbf{m} = (1, 0, 0)$:

$$\begin{aligned} \tilde{E}_p^{(r)} &= \frac{ik_{0s}}{\varepsilon_0 \tilde{Y}^+} \left\{ \sqrt{\tilde{n}^2 - \alpha^2} P_2 + \alpha P_3 - \frac{i\tilde{n}^2 \tilde{Q}}{\tilde{Y}^+} \left[\alpha \cos \psi P_2 - \left(\tilde{n}_0 + \sqrt{\tilde{n}^2 - \alpha^2} \cos \psi \right) P_3 \right] \right\}, \\ \tilde{E}_s^{(r)} &= \frac{ik_{0s}}{\varepsilon_0 \tilde{X}^+} P_1, \end{aligned} \quad (8.1)$$

где, как следует из (2.2), составляющие нелинейной поляризации

$$\begin{aligned} P_1 &= \chi_1 E_1 E_3 - (\chi_3 - \chi_6) E_1 E_2, \\ P_2 &= \chi_1 E_2 E_3 - (\chi_4 + \chi_6) E_1^2 - (\chi_3 + \chi_4) E_2^2 - (\chi_4 - \chi_5) E_3^2, \\ P_3 &= \chi_2 (E_1^2 + E_2^2) + (\chi_1 + \chi_2) E_3^2 - (\chi_3 + \chi_5) E_2 E_3 \end{aligned}$$

определяются через комплексные амплитуды E_1, E_2, E_3 в соответствии с (4.7). Независимо от того, имеет ли падающая волна s - или p -поляризацию, справедливо соотношение $\tilde{E}_s^{(r)} = 0$, т. е. отраженная волна с частотой ω_s будет иметь только p -составляющую (см. рис. 2). Это свойство имеет место и в случае пленок, что подтверждено экспериментально [7]. Если падающая волна имеет s -поляризацию, то

$$\begin{aligned} \tilde{E}_p^{(r)} &= \frac{ik_{0s}}{\varepsilon_0 \tilde{Y}^+} \left(\frac{2n_0 \cos \varphi}{X^+} E_s^{(i)} \right)^2 \times \\ &\times \left\{ \chi_2 \left[\alpha + \frac{i\tilde{n}^2 \tilde{Q}}{\tilde{Y}^+} \left(\tilde{n} + \sqrt{\tilde{n}^2 - \alpha^2} \cos \psi \right) \right] - (\chi_4 + \chi_6) \sqrt{\tilde{n}^2 - \alpha^2} \right\}, \end{aligned} \quad (8.2)$$

а для p -поляризации

$$\begin{aligned} \tilde{E}_p^{(r)} &= \frac{ik_{0s}}{\varepsilon_0 \tilde{Y}^+} \left(\frac{2n_0 \cos \varphi}{Y^+} E_p^{(i)} \right)^2 \left\{ \chi_1 \left[-in^2 Q \left(\sqrt{\tilde{n}^2 - \alpha^2} \left(1 - \frac{2\alpha^2 \cos \varphi}{Y^+} \right) - \right. \right. \right. \\ &- \frac{2\alpha^2}{Y^+} \left(n_0 + \sqrt{n^2 - \alpha^2} \cos \varphi \right) \left. \right] + \alpha \left[\alpha^2 - \sqrt{(\tilde{n}^2 - \alpha^2)(n^2 - \alpha^2)} \right] + \\ &+ \frac{i\alpha^2 \tilde{n}^2 \tilde{Q}}{\tilde{Y}^+} \left[\tilde{n}_0 + \left(\sqrt{\tilde{n}^2 - \alpha^2} + \sqrt{n^2 - \alpha^2} \right) \cos \psi \right] + \chi_2 n^2 \left[\alpha + \frac{2i\alpha^2 n_0 Q}{Y^+} + \right. \\ &+ \left. \frac{i\tilde{n}^2 \tilde{Q}}{\tilde{Y}^+} \left(\tilde{n}_0 + \sqrt{\tilde{n}^2 - \alpha^2} \cos \psi \right) \right] + \chi_3 \sqrt{\tilde{n}^2 - \alpha^2} \left[\alpha^2 - \sqrt{(\tilde{n}^2 - \alpha^2)(n^2 - \alpha^2)} \right] - \\ &\left. - \chi_4 n^2 \sqrt{\tilde{n}^2 - \alpha^2} + \chi_5 \alpha^2 \left(\sqrt{\tilde{n}^2 - \alpha^2} + \sqrt{n^2 - \alpha^2} \right) \right\}. \end{aligned} \quad (8.3)$$

Чтобы определить интенсивность отраженной волны I_0 , необходимо все зависящие от намагнитченности параметры ($Q, \tilde{Q}, \chi_3, \dots, \chi_6$) положить равными нулю.

После вычисления интенсивности с помощью (8.1) или (8.2), (8.3) и подстановки ее в (3.3) получается характеристика δ нелинейного экваториального эффекта Керра.

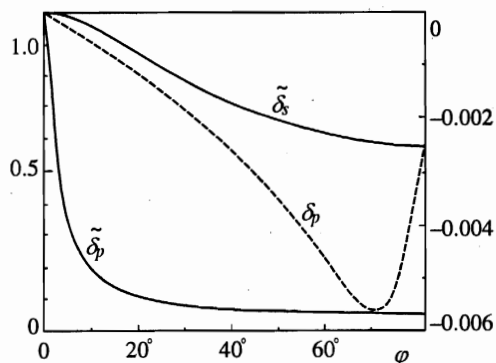


Рис. 4. Зависимости нелинейного (сплошные линии) и линейного (штриховая линия, правая шкала) экваториальных эффектов Керра от угла падения и поляризации падающей волны

Отметим, что имеет место асимптотическое разложение $\bar{\delta} = 1 + O(\varphi^2)$ при $\varphi \rightarrow 0$, в то время как относительное изменение интенсивности $(I - I_0)/I_0 \sim \varphi^{-2}$.

На рис. 4 показаны зависимости $\bar{\delta}$ от φ для s - и p -поляризаций падающей волны. Для сравнения аналогично определена характеристика δ линейного экваториального эффекта. Все параметры соответствуют тем, для которых построены графики на рис. 3.

9. ЗАКЛЮЧЕНИЕ

К основным результатам данной работы можно отнести найденные для полубесконечной магнитной среды аналитические выражения, характеризующие s - и p -составляющие отраженной волны на второй гармонике через оптические и магнитооптические параметры сред при условии, что направления однородной намагниченности соответствуют тем трем, которые приняты в классификации линейных магнитооптических эффектов Керра. Все результаты даны в линейном приближении по параметрам, зависящим от намагниченности. Получены формулы, связывающие s - и p -составляющие отраженной волны на второй гармонике с нелинейной поверхностной электрической поляризацией, что позволяет определить угол поворота плоскости поляризации (керовское вращение) и эллиптичность этой волны при произвольной поляризации падающей волны.

Найдены выражения, характеризующие нелинейные магнитооптические эффекты Керра: полярный, меридиональный и экваториальный. Для известных значений параметров приведены зависимости этих эффектов от угла падения, когда падающая волна имеет s - или p -поляризацию. Показано, что они значительно превосходят соответствующие линейные магнитооптические эффекты Керра. Хотя более актуальной задачей является применение описанного здесь метода к слоистым средам, полученные нами результаты могут быть полезны для иллюстрации особенностей нелинейных магнитооптических эффектов Керра.

Литература

1. Ru-Pin Pan, H. D. Wei, and Y. R. Shen, *Phys. Rev. B* **39**, 1229 (1989).
2. J. Reif, J. C. Zink, C. M. Schneider, and J. Kirschner, *Phys. Rev. Lett.* **67**, 2878 (1991).
3. G. Spierings, V. Koutsos, H. A. Wierenga, M. W. J. Prins, D. Abraham, and Th. Rasing, *Surf. Sci.* **287**, 747 (1993).
4. U. Pustogowa, W. Hübner, and K. H. Bennemann, *Phys. Rev. B* **49**, 10031 (1994).
5. H. A. Wierenga, W. de Jong, M. W. J. Prins, Th. Rasing, R. Vollmer, A. Kirilyuk, H. Schwabe, and J. Kirschner, *Phys. Rev. Lett.* **74**, 1462 (1995).
6. B. Koopmans, M. Groot Koerkamp, Th. Rasing, and H. van den Berg, *Phys. Rev. Lett.* **74**, 3692 (1995).
7. R. Vollmer, A. Kirilyuk, H. Schwabe, J. Kirschner, H. A. Wierenga, W. de Jong, and Th. Rasing, *J. Magn. Magn. Mater.* **148**, 295 (1995).
8. G. Spierings, V. Koutsos, H. A. Wierenga, M. W. J. Prins, D. Abraham, and Th. Rasing, *J. Magn. Magn. Mater.* **121**, 109 (1993).
9. H. A. Wierenga, M. W. J. Prins, and Th. Rasing, *Physica B* **204**, 281 (1995).
10. T. M. Crawford, C. T. Rogers, T. J. Silva, and Y. K. Kim, *J. Appl. Phys.* **81**, 4354 (1997).
11. T. M. Crawford, C. T. Rogers, T. J. Silva, and Y. K. Kim, *IEEE Trans. Magn.* **38**, 3598 (1997).
12. H. A. Wierenga, W. de Jong, M. W. J. Prins, Th. Rasing, R. Vollmer, A. Kirilyuk, H. Schwabe, and J. Kirschner, *Phys. Rev. Lett.* **74**, 1462 (1995).
13. T. A. Luce, W. Hubner, and K. H. Bennemann, *Phys. Rev. Lett.* **77**, 2810 (1996).
14. A. Kirilyuk, Th. Rasing, R. Megy, and P. Beauvillain, *Phys. Rev. Lett.* **77**, 4608 (1996).
15. Н. Н. Ахмедиев, А. К. Звездин, Письма в ЖЭТФ **38**, 167 (1983).
16. Н. Н. Ахмедиев, С. Б. Борисов, А. К. Звездин, И. Л. Любчанский, Ю. В. Мелихов, ФТТ **27**, 1075 (1985).
17. А. М. Агальцов, В. С. Горелик, А. К. Звездин, В. А. Мурашов, Д. Н. Раков, Труды ФИАН **5**, 37 (1989).
18. M. Fiebig, D. Fröhlich, B. V. Krichevstov, and R. V. Pisarev, *Phys. Rev. Lett.* **73**, 2127 (1994).
19. А. Акципетров, О. В. Брагинская, Д. А. Есиков, КЭ **20**, 259 (1990).
20. R. V. Pisarev, B. V. Krichevstov, V. N. Gridnev, V. P. Klin, D. Fröhlich, and Ch. Pahlke-Lerch, *J. Phys. C* **5**, 8621 (1993).
21. G. Petrocelli, S. Martellucci, and M. Richetta, *Appl. Phys. Lett.* **71**, 1931 (1993).
22. V. V. Pavlov, R. V. Pisarev, A. Kirilyuk, and Th. Rasing, *Phys. Rev. Lett.* **78**, 2004 (1997).
23. J. Reif, C. Rau, and E. Matthias, *Phys. Rev. Lett.* **71**, 1931 (1993).
24. А. К. Звездин, *Physica A* **241**, 444 (1997).
25. А. К. Звездин and V. A. Kotov, *Modern Magneto-Optics and Magneto-Optical Materials*, IOP Publishing, UK (1997).
26. P. S. Pershan, *Phys. Rev.* **130**, 919 (1963).
27. S. Kielich and R. Zavodny, *Opt. Acta* **20**, 867 (1973).
28. E. V. Graham and R. E. Raab, *Phil. Mag. B* **66**, 269 (1992).
29. С. С. Гиргель, Т. В. Демидова, *Опт. и спектр.* **62**, 63 (1987).
30. И. Р. Шен, *Принципы нелинейной оптики*, Наука, Москва (1989).
31. W. Hübner and K. H. Bennemann, *Phys. Rev. B* **40**, 5973 (1989).
32. R. M. A. Azzam and N. M. Bashara, *Ellipsometry and Polarized Light*, North-Holland, Amsterdam (1977).
33. B. Jérôme and Y. R. Shen, *Phys. Rev. E* **48**, 4556 (1993).
34. U. Pustogowa, W. Hübner, and K. H. Bennemann, *Phys. Rev. B* **48**, 8607 (1993).
35. U. Pustogowa, W. Hübner, and K. H. Bennemann, *Surf. Sci.* **307-309**, 1129 (1994).